

تحلیل قاب‌های صفحه‌ای دو بعدی با روش تحلیلی ترکیب نیرو-جابجایی

- امیرحسین بحرینی^۱، علی عسگری^{۲*}، علیرضا خبیری^۳، رضا تقی‌پور^۴
- ۱- دانشجوی کارشناسی ارشد سازه، دانشکده مهندسی و فناوری، دانشگاه مازندران
 - ۲- استادیار، دانشکده مهندسی و فناوری، دانشگاه مازندران
 - ۳- دانشجوی دکتری سازه، دانشکده مهندسی و فناوری، دانشگاه مازندران
 - ۴- استادیار، دانشکده مهندسی و فناوری، دانشگاه مازندران

پست الکترونیکی نویسندگان:

۱- a.bahreini@umail.umz.ac.ir

۲- a.asgari@umz.ac.ir

۳- a.khabiri@umail.umz.ac.ir

۴- r.taghipour@umz.ac.ir

چکیده:

تلاش حاضر به بررسی کارایی یک روش پیشنهادی برای حل قاب‌های صفحه‌ای نامعین می‌پردازد که از ترکیب روابط نیرو و جابه‌جایی بر اساس رفتار تغییر شکل محوری و خمشی تیر به طور هم‌زمان بهره می‌برد. در این روش، ابتدا معادلات دیفرانسیلی اعضای سازه‌ای براساس تئوری کلی تیر اویلر-برنولی با در نظرگیری اثرات محوری تعیین می‌شوند و سپس با کمک حل تحلیلی و اعمال شرایط مرزی، ثابت‌های انتگرالی معادلات مرتبط با قاب‌ها بدست می‌آیند. برای میزان کارایی روش پیشنهادی، سه مثال از قاب‌های صفحه‌ای متداول تحلیل شده است و با کمک روش اجزا محدود اعتبار سنجی انجام شده است. نتایج نشان می‌دهد که پاسخ‌های تعیین شده از دو روش تطابق خوبی دارند. از مزیت روش ترکیبی نیرو-جابجایی، تعیین حل پارامتریک است و همچنین قابلیت دستیابی به پاسخ‌ها در هر نقطه دلخواه از سازه با دقت بالا دارد. علاوه بر آن برای یافتن کمیت پاسخ سینماتیکی و استاتیکی نیازی به پس پردازش ندارد. لذا این روش می‌تواند به عنوان یک رویکرد جایگزینی برای روش‌های رایج در حل قاب‌های صفحه‌ای چند محوری مورد استفاده قرار گیرد.

واژگان کلیدی:

قاب‌های صفحه‌ای، سازه‌های نامعین، روش ترکیبی نیرو-جابجایی، معادلات تیر اویلر-برنولی، روش تحلیلی.

Analysis of plane multi-span frames with the analytical method of force-displacement combination

Amirhosein Bahreini ^۱, Ali Asgari ^۲, Alireza Khabiri ^۳, Reza Taghipour ^۴

۱- Master Student in Structural Engineering, University of Mazandaran, Mazandaran, Iran.

۲- Assistant Professor, Faculty of Engineering and Technology, University of Mazandaran, Mazandaran, Iran.

۳- Ph.D. student in Structural Engineering, University of Mazandaran, Mazandaran, Iran.

۴- Assistant Professor, Faculty of Engineering and Technology, University of Mazandaran, Mazandaran, Iran.

Abstract:

This paper investigates the effectiveness of the mixed forced-displacement method for solving indeterminate plane frames that combine force and displacement relations based on the beam's axial and bending deformation behavior simultaneously. In this method, the differential equations of all structural members are determined based on the general theory of the Bernoulli beam by considering the axial effects, in the following with the help of an analytical solution and application of boundary conditions, the integral constants of the equations related to the uniaxial frames of the structure are obtained. For the effectiveness of the proposed method, three examples of common frames have been analyzed and validated with the finite element method. The results show that the answers determined by the two methods are completely consistent. One of the advantages of the combined displacement-force method is determining the parametric solution as well as the high accuracy of this method. In addition, it does not need post-processing to find the quantity of kinematic and static responses. Therefore, this method can be used as an alternative approach to the finite element method in solving multi-axial plane frames. Moreover, its capability to handle intricate loading and various boundary condition configurations highlights the method's efficiency. Furthermore, the method simplifies the simultaneous influences of material and geometric nonlinearities in the analysis process. Material nonlinearities, such as yielding and hardening, are accommodated by adjusting the stiffness matrix. In contrast, geometric nonlinearities arising from significant displacements are addressed through iterative updates of the displacement field until convergence is achieved. In summary, the mixed displacement-force method is a comprehensive and efficient tool for the ۲D frames analysis. The ability to provide accurate results without the need for complex numerical simulations increases the importance of this method in the range of structural analysis techniques. Future research efforts could examine developing the process to three-dimensional frames and investigating its application in the performance-based design and analysis areas.

Keywords: Plane frames, indeterminate structures, mixed force-displacement method, Euler–Bernoulli beam equation, analytical method.

۱ - مقدمه و اهمیت پژوهش

یکی از مهم‌ترین مسائل تحلیل‌سازه‌ها یافتن روش تحلیلی دقیق قاب‌های صفحه‌ای نامعین می‌باشد. بهره‌گیری از رویکرد معادلات دیفرانسیل می‌تواند به عنوان یک ابزار کلی برای حل قاب‌های صفحه‌ای در نظر گرفته شود. تعمیم روش‌های مبتنی بر معادلات دیفرانسیل برای قاب‌های چندمحوری موضوعی درخور توجه است. بعضی معادلات حاکم بر سازه دارای تکینگی می‌باشند که حل آن‌ها با رویکرد تک محوری قلیل حل نیست. آثار مکالی [۱]، برونگرابر [۲]، کار فالسون [۳] و دیگر پژوهشگران [۴-۱۴] استفاده از رویکردهای ترکیبی را توصیه می‌کند.

به منظور یافتن پاسخ‌های این نوع معادلات تلاش‌های بسیاری صورت پذیرفته است. پژوهشگران با استفاده از روش‌های تحلیلی، نیمه تحلیلی و عددی به حل این معادلات می‌پردازد، اما یافتن یک روش دقیق و ساده که بتواند تمامی مسائل را پوشش دهد، می‌تواند جایگزین مناسبی برای روش‌های عددی مانند اجزا محدود، کانی، شیب افت و غیره باشد [۱۵]. کارهای انجام شده در این زمینه بسیار گسترده است. تحلیل دینامیکی غیر خطی قاب پرتال [۱۶]، پیش بینی تغییر شکل قاب‌های ساده بتنی با استفاده از یک رویکرد غیر مستقیم [۱۷]، تحلیل غیر خطی قاب‌های ساده با تعامل بین تغییر شکل برشی و خمشی [۱۸]، محاسبه تغییر مکان سازه تحت اثر پیچش با فرض رفتار غیر خطی سازه [۱۹]، طراحی دال‌های دو طرفه و بهینه سازی آن با استفاده از معادلات ریاضی [۲۰]، تحلیل و طراحی قاب‌های فولادی [۲۱]، تحلیل دینامیکی سازه با استفاده از رویکرد های انتگرالگیری عددی [۲۲]، تحلیل سازه‌های بتنی با استفاده از روش نیرو و جابه‌جایی [۲۳]، شبیه سازی پاسخ سازه‌ها در برابر زمین لرزه با استفاده از روابط ترکیب نیرو-جابه‌جایی [۲۴]، طراحی لرزه‌ای سازه بتنی و فولادی با استفاده از روش نیرو و جابه‌جایی [۲۵]، تحلیل قاب‌های دوگانه به روش کانی [۲۷]، تحلیل ارتعاش خطوط لوله با استفاده از روش تبدیل دیفرانسیل به عنوان یک روش نیمه تحلیلی [۲۸]، تحلیل عددی و مطالعه پارامتریک بر قاب‌های چند درجه آزادی [۲۹]، حل قاب‌های پیچیده [۳۰]، روش جابه‌جایی اجزا محدود برای قاب‌ها [۳۱]، روش جابه‌جایی از تونیولو و کارنوسکی [۳۲، ۳۳]، تحلیل المان تیر قاب‌های الاستو پلاستیک برای یک جابه‌جایی بزرگ [۳۴]، روش‌های تغییر شکل و المان برای قاب‌ها [۳۵]، تحلیل قاب‌های غیرخطی با استفاده از روش نیرو [۳۶]، روش نیرویی توسعه یافته برای تحلیل سازه‌های دارای پیش تنیدگی استاتیکی و سینماتیکی نامعین پایدار [۳۸]، روش ماتریس انتقال برای قاب‌های دیوار برشی [۳۹]، طراحی لرزه‌ای به روش ترکیبی نیرو-جابه‌جایی برای قاب‌های فولادی [۴۰] از جمله مواردی

است که در راستای تحلیل و طراحی تیرها و تعمیم آن برای قاب‌های صفحه‌ای صورت پذیرفته است.

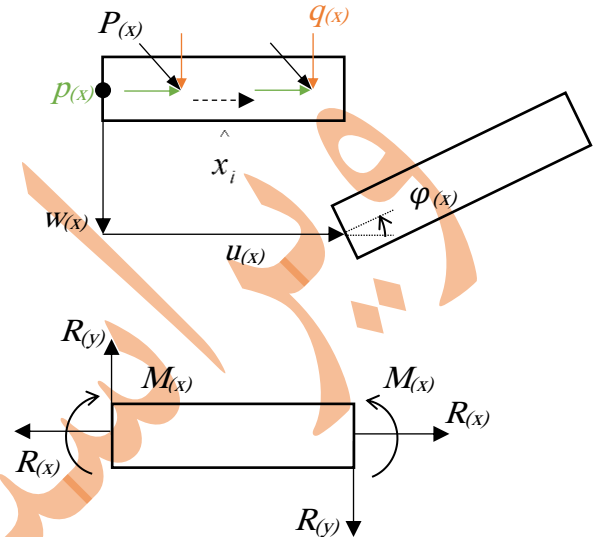
روش‌های مرسوم معمولاً فقط یکی از روش‌های جابه‌جایی و یا نیرویی را به کار می‌گیرند. تحلیل با روش‌های مبتنی بر سختی با افزایش نامعینی سازه‌ها به روش‌های نرمی ترجیح داده می‌شود، قابل ذکر است که روش‌های نیرویی برای سازه‌ها با درجه نامعینی کمتر کاربردی است. ترکیب روش‌های مبتنی بر نیرو و جابه‌جایی می‌تواند محدودیت هر یک از روش‌های مستقل نیرویی یا جابه‌جایی را مرتفع کند. در روش ترکیبی نیرو-جابه‌جایی، مدل‌سازی معادلات حاکم (خمشی و محوری) هر عضو صورت پذیرفته و پس از تحلیل اولیه، ۶ مجهول بصورت ثابت انتگرال ظاهر می‌شود. به طور کلی، برای تعیین ۶ ثابت انتگرالی باید شرایط مرزی متناظر با هر یک از المان‌ها اعمال گردد. از نظر مزایای محاسباتی در روش پیشنهادی می‌توان گفت که در نهایت باید معادله ماتریسی حل شود تا به مجهولات مسئله رسید و محاسبات پیچیده‌ای در کار نیست اما در مورد معایب محاسباتی این روش می‌توان گفت که هرچه سازه بزرگتر باشد ماتریس نهایی به نسبت بزرگ می‌شود و صرفاً زمان و حجم محاسبات بالا می‌رود. لازم به ذکر است که این مورد در روش‌های دیگر نیز صادق است.

در مقایسه با روش پیشنهادی، آنالیز ماتریسی متداول برای تحلیل سازه‌ها فقط با استفاده از یک ماتریس سختی و یا نرمی بهره می‌برد و می‌تواند برای سازه‌های ساده‌تر مناسب باشد اما روش ترکیبی نیرو-جابه‌جایی به صورت خاص برای تحلیل سازه‌های پیچیده‌تر و نامعین استفاده می‌شود و از ترکیب دو روش سختی و نرمی استفاده می‌کند. در مورد حجم و سرعت، آنالیز ماتریسی معمولاً کمتر و سریع‌تر است، اما دقت آن ممکن است در برخی موارد محدود باشد در حالیکه حجم محاسبات روش ترکیبی نیرو-جابه‌جایی بیشتر است اما دقیق است و می‌تواند نتایج بهتری برای سازه‌های پیچیده ارائه دهد. از طرفی دیگر اعمال شرایط مرزی بر معادلات حاکم در روش پیشنهادی در مقایسه با تحلیل ماتریسی ساده‌تر است. به طور کلی، انتخاب بین این دو روش به نوع سازه، درجه نامعینی آن، دقت مورد نیاز و منابع محاسباتی در دسترس بستگی دارد.

هدف از این پژوهش توسعه‌ی رویکرد معادلات دیفرانسیل در مورد قاب‌های چند محوری است. در تلاش حاضر، ابتدا به روابط روش نیرو-جابه‌جایی پرداخته شده است و سپس سه قاب استاتیکی با افزایش تدریجی تعداد اعضا و دهانه‌ها برای نشان دادن کارایی روش ارائه شد. به منظور اعتبار سنجی این روش، قاب‌ها به کمک روش اجزا محدود تحلیل و پاسخ‌ها با روش پیشنهادی نیرو-جابه‌جایی مقایسه شده‌اند. در پایان، به نتیجه‌گیری پژوهش حاضر پرداخته شده است.

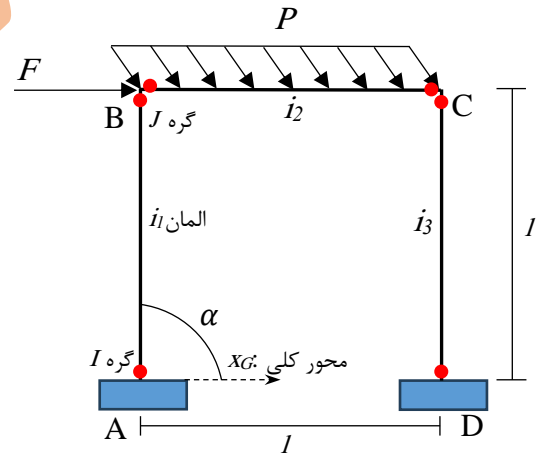
۲- روش ترکیب نیرو-جابجایی:

برای هر عضو از سازه ابتدا مختصات محلی و درجات آزادی مطابق شکل ۱ معرفی شده است [۱۵].



شکل ۱: درجات آزادی و محور مختصات محلی

شکل ۲ را در نظر بگیرید:



شکل ۲: قاب ساده یک دهنه دارای ۳ المان تحت نیروی گسترده و متمرکز جانبی

برای اعضا تیرستون به صورت افقی یا عضو ستون به صورت قائم معادلات تغییرشکل به صورت زیر تعریف می‌گردد [۱۵].

$$u_{(x_i)}^{\wedge} = -\frac{1}{(EA)_i} p_{(x_i)}^{(2)} + c_{i,1}^{\wedge} x_i + c_{i,2}^{\wedge} \quad (1)$$

$$w_{(x_i)}^{\wedge} = \frac{1}{(EI)_i} q_{(x_i)}^{(4)} + c_{i,3}^{\wedge} \frac{x_i^3}{6} + c_{i,4}^{\wedge} \frac{x_i^2}{2} + c_{i,5}^{\wedge} x_i + c_{i,6}^{\wedge} \quad (2)$$

در روابط فوق E مدول الاستیسیته، A مساحت سطح مقطع، I ممان دوم سطح، i شماره المان، p شدت بار محوری وارد بر المان و q شدت بار قائم وارده بر المان و c_i ها ثابت‌های انتگرالی یا مجهولات مسئله هستند. لازم به ذکر است که در روابط (۱) و (۲) و روابط بعد از این‌ها $p_{(x_i)}^{(2)}$ و $q_{(x_i)}^{(4)}$ و از این دست روابط از علائم اختصاری برای انتگرالگیری استفاده شده است. $p_{(x_i)}^{(2)}$ به

معنای $\int \int p_{(x_i)} dx$ و $q_{(x_i)}^{(4)}$ به معنای $\int \int \int \int q_{(x_i)} dx$ است. حال به منظور اعمال شرایط مرزی نیاز است تا معادلات را برای هر یک از دو گره ابتدایی و انتهایی المان بسط داد که معادلات فوق به صورت زیر درمی‌آید. لازم است قبل از این کار به منظور تفکیک بارهای گسترده‌ی محوری و قائم از یکدیگر، شدت بار گسترده‌ی اعمال شده بر روی المان (P) را به دو بار p که شدت بار محوری و q (رو به پایین مثبت) شدت بار قائم است، تجزیه کرد. همچنین زاویه بار با محور عضو (θ) از سمت چپ به صورت ساعتگرد مثبت در نظر گرفته می‌شود.

$$P \times \cos \theta = p$$

$$P \times \sin \theta = q$$

نکته دیگری که باید در نظر گرفته‌شود، این است که برای بدست آوردن تغییرشکل‌های قاب به سه مجهول تغییرشکل و سه مجهول واکنش تکیه‌گاهی در هر گره نیاز است. برای گره‌های I و J معادلات مسئله به شکل زیر می‌باشد.

$$u_i^{(I)} = u_{(x_i)/x_i=0}^{\wedge} = -\frac{1}{(EA)_i} p_{(x_i)/x_i=0}^{(2)} + c_{i,2}^{\wedge} \quad (3)$$

$$w_i^{(I)} = w_{(x_i)/x_i=0}^{\wedge} = \frac{1}{(EI)_i} q_{(x_i)/x_i=0}^{(4)} + c_{i,6}^{\wedge} \quad (4)$$

$$\phi_i^{(I)} = \phi_{(x_i)/x_i=0}^{\wedge} = -\frac{1}{(EI)_i} q_{(x_i)/x_i=0}^{(3)} + c_{i,5}^{\wedge} \quad (5)$$

$$R_{x_i}^{(I)} = -(EA) u_{(x_i)/x_i=0}^{\wedge} = p_{(x_i)/x_i=0}^{(1)} - (EA)_i c_{i,1}^{\wedge} \quad (6)$$

تغییر شکل و واکنش‌ها است. $A_i^{(K)}$ ضرایب c_i ها یا ثابت‌های انتگرالی در معادلات تغییر شکل هستند و B_i ضرایب c_i ها یا ثابت‌های انتگرالی در معادلات واکنش‌ها هستند که مقدار آن‌ها به صورت زیر تعریف می‌شود.

$$A_i^{(I)} = \begin{bmatrix} 0 & 1 & 0 & 0 & 0 & 0 \\ 0 & 0 & 0 & 0 & 0 & 1 \\ 0 & 0 & 0 & 0 & -1 & 0 \end{bmatrix} \quad (19)$$

$$A_i^{(J)} = \begin{bmatrix} l_i & 1 & 0 & 0 & 0 & 0 \\ 0 & 0 & \frac{l_i^3}{6} & \frac{l_i^2}{2} & l_i & 1 \\ 0 & 0 & -\frac{l_i^2}{2} & -l_i & -1 & 0 \end{bmatrix} \quad (20)$$

$$B_i^{(I)} = \begin{bmatrix} -(EA)_i & 0 & 0 & 0 & 0 & 0 \\ 0 & 0 & (EI)_i & 0 & 0 & 0 \\ 0 & 0 & 0 & (EI)_i & 0 & 0 \end{bmatrix} \quad (21)$$

$$B_i^{(J)} = \begin{bmatrix} (EA)_i & 0 & 0 & 0 & 0 & 0 \\ 0 & 0 & -(EI)_i & 0 & 0 & 0 \\ 0 & 0 & -(EI)_i l_i & -(EI)_i & 0 & 0 \end{bmatrix} \quad (22)$$

در حالت کلی $A_i^{(K)}$ تابعی از طول المان‌ها و عدد هستند و $B_i^{(K)}$ تابعی از سختی محوری، سختی خمشی، طول و عدد است. $a_i^{(K)}$ و $b_i^{(K)}$ بستگی به بارهای خارجی وارد بر المان دارد.

$$a_i^{(I)} = \left[\frac{1}{(EA)_i} p_{(x_i)/x_i=0}^{(2)} - \frac{1}{(EI)_i} q_{(x_i)/x_i=0}^{(4)} \frac{1}{(EI)_i} q_{(x_i)/x_i=0}^{(3)} \right]^T \quad (23)$$

$$a_i^{(J)} = \left[\frac{1}{(EA)_i} p_{(x_i)/x_i=l_i}^{(2)} - \frac{1}{(EI)_i} q_{(x_i)/x_i=l_i}^{(4)} \frac{1}{(EI)_i} q_{(x_i)/x_i=l_i}^{(3)} \right]^T \quad (24)$$

$$b_i^{(I)} = \left[-p_{(x_i)/x_i=0}^{(1)} - q_{(x_i)/x_i=0}^{(1)} - q_{(x_i)/x_i=0}^{(2)} \right]^T \quad (25)$$

$$R_{y_i}^{(I)} = (EI)_i w_{(x_i)/x_i=0}'''' = q_{(x_i)/x_i=0}^{(1)} + (EI)_i c_{i,3} \quad (7)$$

$$M_i^{(I)} = (EI)_i w_{(x_i)/x_i=0}'' = q_{(x_i)/x_i=0}^{(2)} + (EI)_i c_{i,4} \quad (8)$$

$$u_i^{(J)} = u_{(x_i)/x_i=l_i} = -\frac{1}{(EA)_i} p_{(x_i)/x_i=l_i}^{(2)} + l_i c_{i,1} + c_{i,2} \quad (9)$$

$$w_i^{(J)} = w_{(x_i)/x_i=l_i} = \frac{1}{(EI)_i} q_{(x_i)/x_i=l_i}^{(4)} + \frac{l_i^3}{6} c_{i,3} + \frac{l_i^2}{2} c_{i,4} + l_i c_{i,5} + c_{i,6} \quad (10)$$

$$\phi_i^{(J)} = \phi_{(x_i)/x_i=l_i} = -\frac{1}{(EI)_i} q_{(x_i)/x_i=l_i}^{(3)} - \frac{l_i^2}{2} c_{i,3} - l_i c_{i,4} - c_{i,5} \quad (11)$$

$$R_{x_i}^{(J)} = -p_{(x_i)/x_i=l_i}^{(1)} + (EA)_i c_{i,1} \quad (12)$$

$$R_{y_i}^{(J)} = -q_{(x_i)/x_i=l_i}^{(1)} - (EI)_i c_{i,3} \quad (13)$$

$$M_i^{(J)} = -q_{(x_i)/x_i=l_i}^{(2)} - (EI)_i l_i c_{i,3} - (EI)_i c_{i,4} \quad (14)$$

معادلات (5) و (11) تغییر شکل دورانی در گره‌های I و J ، معادلات (6) و (12) نیروی داخلی محوری، معادلات (7) و (13) نیروی داخلی برشی و معادلات (8) و (14) لنگر به وجود آمده در گره‌ها هستند. به منظور ساده‌نویسی هر یک از معادلات تغییر شکل‌ها و نیرویی را می‌توان بصورت گروه‌های ماتریسی نوشت. لازم به ذکر است که در ماتریس‌های زیر $K=I, J$ شماره گره‌ها می‌باشد.

$$u_i^{(K)} = A_i^{(K)} c_i - a_i \quad (15)$$

$$r_i^{(K)} = B_i^{(K)} c_i - b_i \quad (16)$$

$$u_i^{(K)} = [u_i^{(K)} \quad w_i^{(K)} \quad \phi_i^{(K)}]^T \quad (17)$$

$$r_i^{(K)} = [R_{x_i}^{(K)} \quad R_{y_i}^{(K)} \quad M_i^{(K)}]^T \quad (18)$$

نکته‌ی دیگر در معادلات ماتریسی فوق علامت (\wedge) می‌باشد که نشانگر محلی^۱ بودن معادلات هر المان است. همچنین $u_i^{(K)}$

به ترتیب معادلات تغییر شکل‌ها و واکنش‌های نیرویی تکیه‌گاهی را ارائه می‌کنند. c_i ها همان مجهولات موجود در معادله تغییر شکل است که از انتگرالگیری به وجود آمده‌اند و تعداد آن‌ها برای هر المان ۶ ثابت انتگرالی است ولی تعداد مجهولات کلی برای المان‌ها ۱۲ ثابت انتگرالی است، یعنی هر گره ۶ ثابت که همان

^۱ Local

حل این سیستم باید شرایط سازگاری و تعادل گره‌های آزاد نوشته‌شود. برای نوشتن معادلات تعادل و سازگاری، ابتدا نیاز است که همه‌ی کمیت‌های استاتیکی و سینماتیکی به یک محور کلی ارجاع گردد. ماتریس G یا دوران به منظور عبور از مختصات محلی به صورت زیر تعریف می‌شود.

$$G_i = \begin{bmatrix} \cos \alpha_i & \sin \alpha_i & 0 \\ -\sin \alpha_i & \cos \alpha_i & 0 \\ 0 & 0 & 1 \end{bmatrix} \quad (29)$$

α_i زاویه بین محور محلی و کلی (X_G)^۵ است. محور محلی در راستای المان و محور کلی در راستای افق می‌باشد. شرط سازگاری در گره‌های غیر مقید باید نوشته شود. از نظر فیزیکی در گره‌هایی که دو المان به هم متصل هستند و قید خارجی ندارند، تغییرشکل‌ها باهم برابر هستند. همچنین با نوشتن معادلات تعادل در آن گره‌ها مجموع واکنش‌های داخلی اعضا نیز با نیروی وارده بر آن گره باهم برابر هستند. به عنوان مثال $u_1^{(J)} = u_2^{(I)}$ بدان معناست که تغییرشکل انتهای المان ۱ با تغییرشکل ابتدای المان ۲ برابر است. روابط زیر برای گره‌های غیر مقید شکل ۲ نوشته شده‌است.

$$u_1^{(J)} = u_2^{(I)} \rightarrow G_1 u_1 = G_2 u_2 \quad (30)$$

$$G_1 A_1 c_1 - G_2 A_2 c_2 = G_1 a_1 - G_2 a_2 \quad (31)$$

$$A_1 c_1 - A_2 c_2 = a_1 - a_2 \quad (32)$$

$$r_1^{(J)} + r_2^{(I)} = f^B \rightarrow G_1 r_1 + G_2 r_2 = f^B \quad (33)$$

$$G_1 B_1 c_1 + G_2 B_2 c_2 = G_1 b_1 + G_2 b_2 + f^B \quad (34)$$

$$B_1 c_1 + B_2 c_2 = b_1 + b_2 + f^B \quad (35)$$

$$u_2^{(J)} = u_3^{(J)} \rightarrow G_2 u_2 = G_3 u_3 \quad (36)$$

$$G_2 A_2 c_2 - G_3 A_3 c_3 = G_2 a_2 - G_3 a_3 \quad (37)$$

$$A_2 c_2 - A_3 c_3 = a_2 - a_3 \quad (38)$$

$$r_2^{(J)} + r_3^{(J)} = f^C \rightarrow G_2 r_2 + G_3 r_3 = f^C \quad (39)$$

$$G_2 B_2 c_2 + G_3 B_3 c_3 = G_2 b_2 + G_3 b_3 + f^C \quad (40)$$

$$b_i^{(J)} = [p_{(x_i)/\hat{x}_i=l_i}^{(1)} \quad q_{(x_i)/\hat{x}_i=l_i}^{(1)} \quad q_{(x_i)/\hat{x}_i=l_i}^{(2)}]^T \quad (26)$$

جالب است که در a_i سختی‌ها هم دخیل هستند ولی در b_i که مربوط به واکنش‌های تکیه‌گاهی است، اثری از سختی دیده نمی‌شود. اگر این دو ضرب با هم مقایسه شوند رابطه‌ای مشخص می‌شود که نیرو و جلیه‌جایی را به هم مرتبط می‌کند. در واقع ۱۲ مجهولی که ۶ مجهول در هر گره بود را به ۳ مجهول در هر گره که همان C_i ها هستند تبدیل می‌کند. یا به عبارتی دیگر روشی که از آن به عنوان روش ترکیب نیرو-جلیه‌جایی^۲ یاد می‌شود با ترکیب معادلات تغییرشکل و نیرویی مجهولات معادلات (u و W و φ) و R_x و R_y و M) را به ۶ مجهول C_i تبدیل می‌کند. حال برای سادگی کار می‌توان شرایط مرزی را برای گره‌هایی که تکیه‌گاه بسته^۳ دارند به دلیل اینکه ماتریس دوران^۴ روی آن اثر نمی‌گذارد، اعمال کرد. نکته‌ی دیگری که باید در نظر گرفت این است که اگر این کار برای حالت‌های کلی بسط داده شود باید ماتریس دوران را در هر یک از گره‌ها بدست آورد و این ماتریس بدست آمده باید شرایط مرزی را ارضا کند. فرض شود در گره I تکیه‌گاه گیردار باشد، در این صورت روابط تغییر شکل را می‌توان به صورت زیر نوشت:

$$u_1 = 0 \rightarrow A_1 c_1 = a_1 \quad (27)$$

$$u_3 = 0 \rightarrow A_3 c_3 = a_3 \quad (28)$$

چهار گروه معادلات که در رابطه‌های (۱۵) و (۱۶) بیان شد خود شامل ۱۲ معادله و ۱۲ مجهول است. همانطور که استنباط می‌شود در یک المان تعداد مجهولات تغییرمکان و نیرویی برای دو گره ۱۲ عدد است اما با توجه به معادله دیفرانسیل حاکم بر کل المان می‌توان این ۱۲ مجهول را به ۶ مجهول که همان ثابت‌های معادله دیفرانسیل است تبدیل نمود. اگر به معادله دیفرانسیل حاکم بر تیرتوجه شود، برای نمونه در روابط (۱) و (۲)، تغییر شکل با رابطه‌ای به نیرو ارتباط یافته است. رابطه بین تغییرشکل و نیرو هنگامی حاصل می‌شود که سه رابطه‌ی ساختاری، سینماتیکی و استاتیکی با هم ترکیب شوند.

مجهولات مسئله به بردار $\{C_1^j, C_2^j, \dots, C_n^j\}^T$ تبدیل شده است که در آن n تعداد المان و $j=1, 2, \dots, 6$ مجهولات مسئله هستند. برای

^۴ Rotation Matrix

^۵ Global

^۲ Mixed Force-Displacement Method

^۳ Fixed

(۴۱)
$$B_2^{(J)} c_2 + B_3^{(J)} c_3 = b_2^{(J)} + b_3^{(J)} + f^C$$
 لازم به ذکر است که در معادلات بالا ماتریس f تشکیل شده از نیروهای خارجی وارد بر هر گره از سازه و نام هر گره در بالای آن نوشته می‌شود. حال شکل ماتریسی معادلات (۲۷)، (۲۸)، (۳۲)، (۳۵) و (۴۱) را به صورت زیر نوشته می‌شود، که با حل آن مجهولات مسئله بدست می‌آید.

(۴۲)
$$Dc = d$$

(۴۳)
$$D = \begin{bmatrix} A_1^{(I)} & 0 & 0 \\ 0 & 0 & A_3^{(I)} \\ A_1^{(J)} & -A_2^{(I)} & 0 \\ B_1^{(J)} & B_2^{(I)} & 0 \\ 0 & A_2^{(J)} & -A_3^{(J)} \\ 0 & B_2^{(J)} & B_3^{(J)} \end{bmatrix}$$

(۴۴)
$$d = \begin{bmatrix} a_1^{(I)} \\ a_3^{(I)} \\ a_1^{(J)} - a_2^{(I)} \\ b_1^{(J)} + b_2^{(I)} + f^B \\ a_2^{(J)} - a_3^{(J)} \\ b_2^{(J)} + b_3^{(J)} + f^C \end{bmatrix}$$

(۴۵)
$$c = \begin{bmatrix} c_1 \\ c_2 \\ c_3 \end{bmatrix}$$

لازم به ذکر است که معادله (۴۲) خود وابسته به روابط (۱۹-۲۶) است. مجهولات این معادلات ماتریس c می‌باشد که هر درایه آن تشکیل شده از ماتریس‌های c_1 ، c_2 و c_3 است. هر یک از ماتریس‌های c_i یک بردار ستونی ۶ مولفه‌ای است که در نهایت برای مثال ماتریس c یک بردار ستونی ۱۸ مجهولی برای یک قاب ساده سه المانی است.

۳- الگوریتم حل برای قاب‌های با تعداد اعضای دلخواه

با توسعه این روش پیشنهادی در نهایت معادله (۴۲) بدست می‌آید که یک معادله ماتریسی است که برای حل این معادله می‌توان از

نرم‌افزارهای مخصوص حل معادلات ریاضی استفاده کرد. معادله (۴۲) را، که معادله نهایی برای حل قاب‌های چند دهانه دو بعدی به روش ترکیب نیرو-جابجایی است، می‌توان برای هر قابی با تعداد n عضو توسعه داد. به طور کلی ماتریس D خود متشکل از

ماتریس‌های دیگری از جمله ماتریس‌های A_i ، B_i و ماتریس صفر است. تعداد ستون‌های ماتریس D برابر با n (تعداد المان) است و تعداد سطرهای آن برابر با $2n$ است. از آنجایی که

ماتریس‌های A_i و B_i 3×6 هستند در نهایت ماتریس D به یک ماتریس $6n \times 6n$ تبدیل می‌شود. ترتیب قرارگیری ماتریس‌های

A_i و B_i اینگونه است که ابتدا با شماره گذاری المان‌ها از سمت چپ به راست در سطرهای اول، گره‌هایی که در آن‌ها تکیه‌گاه وجود دارد (مقید) نوشته می‌شود، سپس با نوشتن معادلات تعادل در گره‌های دیگر با رعایت کردن حرکت از سمت چپ به راست دیگر سطرهای ماتریس هم نوشته می‌شود. معادلات (۳۲)، (۳۵)، (۳۸) و (۴۱) از نوشتن معادلات تعادل برای

شکل ۲ در گره‌های غیر مقید B و C بدست آمدند که به ترتیب در ماتریس D قرار گرفتند. ماتریس c که از مجهولات مسئله تشکیل شده است با حل معادله (۴۲) بدست می‌آید. ماتریس d که تعداد سطرهای آن $2n$ و تعداد ستون آن همیشه ۱ است، از ماتریس‌های a_i و b_i تشکیل شده است که اینها خود ماتریس‌های 3×1 هستند در نتیجه ماتریس d تبدیل به یک ماتریس $6n \times 1$ می‌شود.

ترتیب نوشتن آن هم مانند ماتریس D است یعنی ابتدا از سمت چپ گره‌های مقید و بعد از آن گره‌های غیرمقید نوشته می‌شود. در نهایت برای حل معادله (۴۲) بردار مجهولات، از ضرب ماتریس d با معکوس ماتریس D حاصل می‌شود.

۴- مثال‌های عددی و بررسی نتایج

در این بخش به منظور نشان دادن کارایی روش پیشنهادی، سه قاب صفحه‌ای با افزایش تدریجی اعضا و دهانه‌ها تحلیل می‌گردد لازم به ذکر است روش پیشنهادی تحت کدی در محیط نرم‌افزار Mathematica ver ۱۲,۰,۰ و روش اجزا محدود در بسته نرم‌افزار OpenSees [۴۱, ۴۲] توسعه داده شده‌اند. به منظور شبکه بندی روش اجزا محدود در هر سه قاب انتخاب شده اعضا از نوع beam element و در شبکه بندی به ازای هر ۰.۵ متر یک المان در نظر گرفته شد.

۴-۱- مثال اول

قاب سه عضوی را مطابق شکل ۲
شکل ۲ با مشخصات زیر در نظر بگیرید:

$$l = 5m$$

$$A = 0.12m^2$$

$$I = 1.6 \times 10^{-3} m^4$$

$$E = 2.0 \times 10^{10} \frac{N}{m^2}$$

$$P = 3.0 \times 10^3 \frac{N}{m}$$

$$F = 15000N$$

۴-۱-۱- معادلات حاکم بر هر المان: (i شماره المان می باشد)

$$W_{x_i} = \frac{P_i \times \sin(\theta_i)}{EI} \times \frac{x_i^4}{24} + c_{i,3} \times \frac{x_i^3}{6} + c_{i,4} \times \frac{x_i^2}{2} + c_{i,5} \times x_i + c_{i,6}$$

$$M_{x_i} = -P_i \times \sin(\theta_i) \times \frac{x_i^2}{2} - (c_{i,3} \times x_i + c_{i,4}) \times EI$$

$$T_{x_i} = -P_i \times \sin(\theta_i) \times x_i - c_{i,3} \times EI$$

که در معادلات بالا W خیز، M لنگر و T برش است. با حل معادله (۴۲) برای شکل ۲ مقدار ماتریس C بدست می آید که در پیوست ۱ (مقادیر به دست آمده ماتریس C برای مثال اول) به آن اشاره شده است.

۴-۱-۲- با قرار دادن مقادیر ماتریس C در معادلات حاکم بر هر المان در زیربخش قبل معادلات خیز، لنگر و برش هر المان بدست می آید. مقادیر این معادلات در بازه ۰ تا l (طول المان) تعیین می شود و با مقادیر محاسبه شده لنگر در جدول ۱، برش در جدول ۲ و خیز

در جدول ۳ از روش اجزا محدود مقایسه شده است. همان طور که در بالا اشاره شد هر عضو از قاب در تحلیل به روش عددی اجزای محدود (به عنوان یک روش جابجایی مرسوم) به ۱۰ المان تقسیم بندی می شود که هر یک از المانهای تیر-ستون^۶ دارای دو گره و هر گره نیز دارای سه مجهول اصلی یا سه درجه آزادی (جابجایی در راستای المان و عمود بر آن و دوران) شامل می شود. بنابراین برای یک قاب ساده، ۳۰ المان و ۳۱ گره ایجاد شده است. با توجه به تعداد گره ها، تعداد درجات آزادی کل ۹۳ تا می باشد. این درجات آزادی با اعمال شرایط تکیه گاهی و سازگاری به ۸۱ عدد کاهش می یابند. برای تحلیل به روش عددی نیاز به تشکیل ماتریس مجهولات با ابعاد ماتریس 1×81 است. سپس بعد از تحلیل به روش عددی مجهولات (جابجایی ها و دوران) فقط در هر یک از گره های فرض شده تعیین می شوند و برای نقاط دیگر از توابع شکل به کار گرفته و تحلیل ثانویه امکان پذیر است. همچنین برای تعیین نیروهای تکیه گاهی نیز به تحلیل ثانویه نیاز است. درحالی که به کمک روش پیشنهادی در این پژوهش، تعداد مجهولات ۱۸ تا می باشند که پس از تحلیل پاسخها در هر نقطه بصورت دقیق قابل حصول است. لازم به ذکر است اگر در روش عددی اجزا محدود افزایش دقت مدنظر باشد، باید تعداد شبکه بندی المانها نیز افزایش داده شود که خود منجر به تشکیل ماتریس مجهولات بزرگتری می شود و لذا زمان تلاش محاسباتی جهت تحلیل را بالا می برد. نمودارهای مربوط به مقادیر لنگر، برش و خیز تعیین شده از روش ترکیبی در شکل ۳ ارائه شده است. با مقایسه جواب های به دست آمده از دو روش پیشنهادی نیرو-جابجایی و اجزای محدود مشاهده می شود که تفاوت ناچیزی باهم دارند.

جدول ۱: مقایسه لنگر بدست آمده از روش ترکیب نیرو-جابجایی با روش اجزا محدود

شماره المان	لنگر					
	روش ترکیب نیرو - جابه جایی			روش اجزا محدود		
	گره ابتدا	گره انتها	مقدار max	گره ابتدا	گره انتها	مقدار max
المان ۱	-۳۵۲۰۲.۴	۲۴۴۶۱.۶	۳۵۲۰۲.۴	-۳۵۲۰۲	۲۴۴۶۲	۳۵۲۰۲
المان ۲	-۲۴۴۶۱.۶	۳۰۳۰۹.۵	۵.۳۰۳۰۹	-۲۴۴۶۲	۳۰۳۱۰	۳۰۳۱۰
المان ۳	-۳۸۰۵۹.۴	۳۰۳۰۹.۵	۳۰۳۰۹.۵	-۳۸۰۵۹	۳۰۳۱۰	۳۰۳۱۰

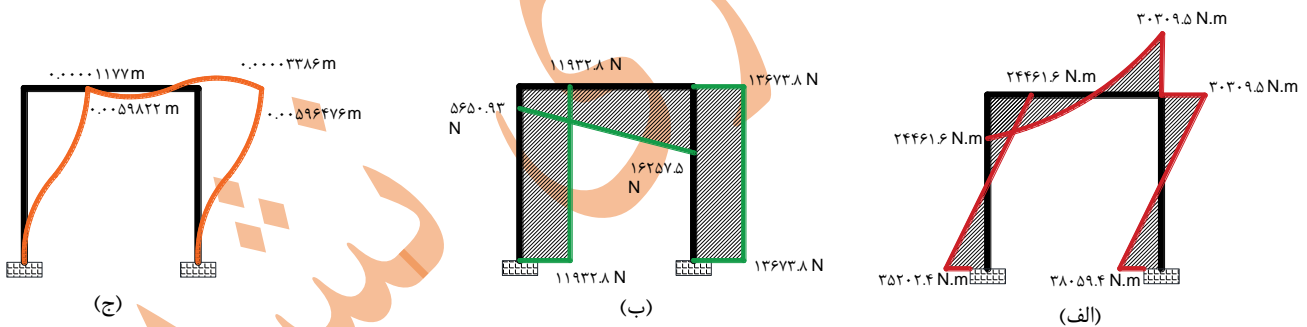
^۶ Beam-column

جدول ۲: مقایسهٔ برش بدست آمده از روش ترکیب نیرو-جابه‌جایی با روش اجزا محدود

شماره المان	برش			
	روش ترکیب نیرو - جابه‌جایی		روش اجزا محدود	
	گره ابتدا	گره انتها	گره ابتدا	گره انتها
المان ۱	۱۱۹۳۲.۸	۱۱۹۳۲.۸	۱۱۹۳۳	۱۱۹۳۳
المان ۲	-۵۶۵۰.۹۳	-۱۶۲۵۷.۵	-۵۶۵۱	-۱۶۲۵۸
المان ۳	۱۳۶۷۳.۸	۱۳۶۷۳.۸	۱۳۶۷۴	۱۳۶۷۴

جدول ۳: مقایسهٔ خیز بدست آمده از روش ترکیب نیرو-جابه‌جایی با روش اجزا محدود

شماره المان	خیز					
	روش ترکیب نیرو - جابه‌جایی			روش اجزا محدود		
	گره ابتدا	گره انتها	مقدار max	گره ابتدا	گره انتها	مقدار max
المان ۱	۰	۰.۰۰۰۵۹۸۲۲	۰.۰۰۰۵۹۸۲۲	۰	۰.۰۵۹۸۲۰	۰.۰۰۰۵۹۸۲
المان ۲	۱.۱۷۷۲۸e-۰۵	-۳.۳۸۶۹۹e-۰۵	۰.۰۰۰۰۱۸	۰.۰۰۰۰۰۱۲	-۰.۰۰۰۰۰۳۴	۰.۰۰۰۰۱۸
المان ۳	۰	۰.۰۰۰۵۹۶۴۷۶	۰.۰۰۰۳۴۹۰۰۸۲	۰	۰.۰۰۰۵۹۶۵	۰.۰۰۰۳۴۹



شکل ۳: (الف): نمودار لنگر قاب ساده دارای ۳ المان (ب): نمودار برش قاب ساده دارای ۳ المان (ج): نمودار خیز قاب ساده دارای ۳ المان

۴-۲- مثال دوم

قاب‌های دارای پنج عضو را مطابق شکل ۴ با مشخصات زیر در نظر بگیرید.

$$W_{x_i} = \frac{q_i}{EI} \times \frac{x_i^4}{24} + c_{i,3} \times \frac{x_i^3}{6} + c_{i,4} \times \frac{x_i^2}{2} + c_{i,5} \times x_i + c_{i,6}$$

$$M_{x_i} = -q_i \times \frac{x_i^2}{2} - (c_{i,3} \times x_i + c_{i,4}) \times EI$$

$$T_{x_i} = -q_i \times x_i - c_{i,3} \times EI$$

$$l = 5m$$

$$A = 0.12m^2$$

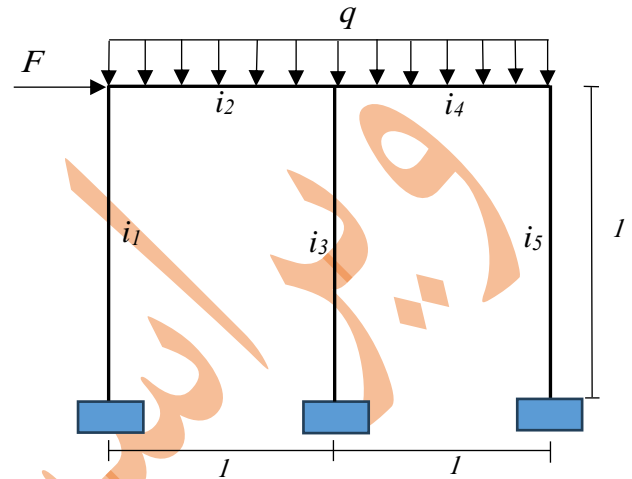
$$I = 1.6 \times 10^{-3} m^4$$

$$E = 2.0 \times 10^{10} \frac{N}{m^2}$$

$$q = 3.0 \times 10^3 \frac{N}{m}$$

$$F = 15000N$$

با حل معادله (۴۲) برای شکل ۴ مقدار ماتریس C بدست می‌آید که در پیوست ۲ (مقادیر به دست آمده ماتریس C برای مثال دوم) به آن اشاره شده است.



شکل ۴: قاب ساده دو دهانه دارای ۵ المان تحت بار گسترده و متمرکز جانبی

با قرار دادن مقادیر ماتریس C در معادلات حاکم بر هر ۴-۲-۲- با المان در زیربخش قبل معادلات خیز، لنگر و برش هر المان بدست تعیین می‌شود و با مقادیر i می‌آید. مقادیر این معادلات در بازه ۰ تا محاسبه شده لنگر در جدول ۴، برش در جدول ۵ و خیز در جدول ۶ از روش اجزا محدود (با فرض مش‌های ۰.۵ متری) مقایسه شده است. نمودارهای مربوط به مقادیر لنگر، برش و خیز حاصله از روش ترکیبی در شکل ۵ نشان داده شده است. با مقایسه جواب‌های بدست آمده از دو روش ترکیب نیرو-جابه‌جایی و اجزای محدود تطابق پاسخ‌ها مشهود است.

جدول ۴: مقایسه لنگر بدست آمده از روش ترکیب نیرو-جابه‌جایی با روش اجزا محدود

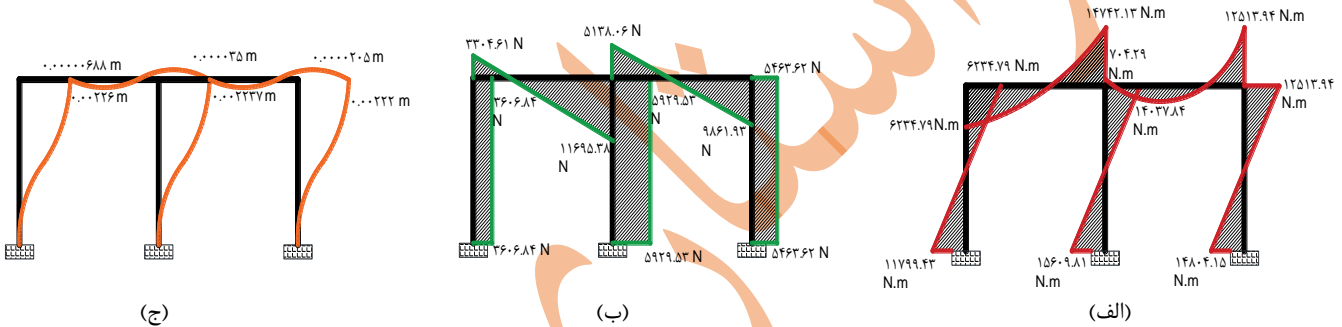
شماره المان	لنگر					
	روش ترکیب نیرو - جابه‌جایی			روش اجزا محدود		
	گره ابتدا	گره انتها	مقدار max	گره ابتدا	گره انتها	مقدار max
المان ۱	-۱۱۷۹۹.۴۳۹۷۵	۶۲۳۴.۷۹۷۸۵۲	۶۲۳۴.۷۹۷۸۵۲	۱۱۷۹۹	۶۲۳۵	۶۲۳۵
المان ۲	-۶۲۳۴.۷۹۷۸۵۲	۱۴۷۴۲.۱۳۱۴۶	۱۴۷۴۲.۱۳۱۴۶	-۶۲۳۵	۱۴۷۴۲	۱۴۷۴۲
المان ۳	-۱۵۶۰۹.۸۱۵۷	۱۴۰۳۷.۸۴۰۲	۱۴۰۳۷.۸۴۰۲	۱۵۶۱۰	۱۴۰۳۸	۱۴۰۳۸
المان ۴	۷۰۴.۲۹۱۲۶۲۸	۱۲۵۱۳.۹۴۶۵۸	۱۲۵۱۳.۹۴۶۵۸	۷۰۴	۱۲۵۱۴	۱۲۵۱۴
المان ۵	-۱۴۸۰۴.۱۵۹۹۲	۱۲۵۱۳.۹۴۶۵۸	۱۲۵۱۳.۹۴۶۵۸	۱۴۸۰۴	-۱۲۵۱۴	۱۲۵۱۴

جدول ۵: مقایسه برش بدست آمده از روش ترکیب نیرو-جابه‌جایی با روش اجزا محدود

شماره المان	برش			
	روش ترکیب نیرو - جابه‌جایی		روش اجزا محدود	
	گره ابتدا	گره انتها	گره ابتدا	گره انتها
المان ۱	۳۶۰۶.۸۴۷۵۲	۳۶۰۶.۸۴۷۵۲	۳۶۰۷	۳۶۰۷
المان ۲	۳۳۰۴.۶۱۴۱۳۸	-۱۱۶۹۵.۳۸۵۸۶	۳۳۰۵	-۱۱۶۹۵
المان ۳	۵۹۲۹.۵۳۱۱۸	۵۹۲۹.۵۳۱۱۸	۵۹۳۰	۵۹۳۰
المان ۴	۵۱۳۸.۰۶۸۹۳۷	-۹۸۶۱.۹۳۱۰۶۳	۵۱۳۸	-۹۸۶۲
المان ۵	۵۴۶۳.۶۲۱۳	۵۴۶۳.۶۲۱۳	۵۴۶۴	۵۴۶۴

جدول ۶: مقایسه خیز بدست آمده از روش ترکیب نیرو-جابجایی با روش اجزا محدود

شماره المان	خیز					
	روش ترکیب نیرو - جابه‌جایی			روش اجزا محدود		
	گره ابتدا	گره انتها	مقدار max	گره ابتدا	گره انتها	مقدار max
المان ۱	۰	۰.۰۰۲۲۶۰۹۴۸	۰.۰۰۲۲۶۰۹۴۸	۰	۰.۰۰۲۲۶۱	۰.۰۰۲۲۶۱
المان ۲	-۶.۸۸۴۶۱×۱۰^{-۶}	-۳.۵۰۶۹۷×۱۰^{-۵}	-۶.۸۸۴۶۱×۱۰^{-۶}	-۰.۰۰۰۰۰۰۷	-۰.۰۰۰۰۰۰۳۵	-۰.۰۰۰۰۰۰۰۷
المان ۳	۰	۰.۰۰۲۲۳۷۲۱۲	۰.۰۰۲۲۳۷۲۱۲	۰	۰.۰۰۲۲۳۷	۰.۰۰۲۲۳۷
المان ۴	-۳.۵۰۶۹۷×۱۰^{-۵}	-۲.۰۵۴۵۷×۱۰^{-۵}	۱.۰۳۰۴۸×۱۰^{-۵}	-۰.۰۰۰۰۰۰۳۵	-۰.۰۰۰۰۰۰۲۱	۰.۰۰۰۰۰۰۲۶
المان ۵	۰	۰.۰۰۲۲۲۵۸۳	۰.۰۰۲۲۲۵۸۳	۰	۰.۰۰۲۲۲۶	۰.۰۰۲۲۲۶



شکل ۵: (الف): نمودار لنگر قاب ساده دارای ۵ المان (ب): نمودار برش قاب ساده دارای ۵ المان (ج): نمودار خیز قاب ساده دارای ۵ المان

لازم به ذکر است اگر اندازه مش بندی در تحلیل اجزای محدود ۵ متر (به اندازه‌ی طول عضو) لحاظ شود، قاب دودهانه از مثال دوم به ۵ المان و ۶ گره تفکیک می‌شود. با توجه به تعداد گره‌ها، تعداد درجات آزادی کل ۱۸ درجه‌ی آزادی خواهد شد. این درجات آزادی با اعمال شرایط تکیه‌گاهی و سازگاری به ۹ عدد می‌رسند. بنابراین برای تحلیل با کمک روش عددی نیاز به تشکیل ماتریس مجهولات با ابعاد ۹×۱ است. سپس بعد از تحلیل، مجهولات (جابجایی‌ها و دوران) فقط در هر یک از گره‌های فرض شده تعیین می‌شوند و برای تعیین جابجایی‌های نقاط دیگر باید از توابع شکل به کار گرفته شده بهره جست. درحالی‌که به کمک روش پیشنهادی در این پژوهش با همان تعداد المان‌ها (۵ عضو)، تعداد مجهولات ۳۰ تا می‌باشند که پس از تحلیل، پاسخ‌ها در هر نقطه از قاب بصورت دقیق قابل حصول است. بنابراین حجم و تلاش محاسبات در روش پیشنهادی با شروط ذکر شده نسبت به روش اجزا محدود بیشتر خواهد شد اما دقت روش پیشنهادی همچنان بیشتر است.

۴-۳- مثال سوم

قابی دارای ده عضو را مطابق شکل ۶ با مشخصات زیر در نظر بگیرید.

$$l = 5m$$

$$A = 0.12m^2$$

$$I = 1.6 \times 10^{-3} m^4$$

$$E = 2.0 \times 10^{10} \frac{N}{m^2}$$

$$q = 3.0 \times 10^3 \frac{N}{m}$$

$$F = 15000N$$

۴-۳-۱- معادلات حاکم بر هر المان:

(طول المان) تعیین می‌آید. مقادیر این معادلات در بازه ۰ تا می‌شود و با مقادیر محاسبه شده لنگر در جدول ۷، برش در جدول ۸ و خیز در جدول ۹ از روش اجزا محدود مقایسه شده است که تطابق خوبی دارند. در شکل ۷ نمودارهای مربوط به مقادیر لنگر، برش و خیز حاصله از روش پیشنهادی ارائه شده است. از مزیت روش پیشنهادی می‌توان به حل دقیق قاب، سهولت استفاده و در دسترس بودن پاسخ در هر نقطه بدون نیاز به انتخاب گره و در نظر گرفتن اثرات محوری اعضای قاب اشاره نمود.

۵ - نتیجه گیری

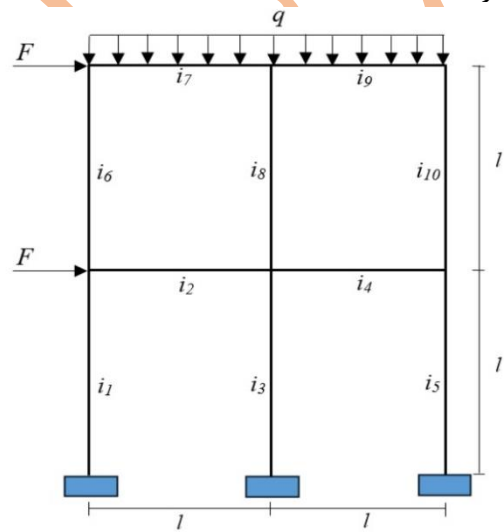
در این تلاش روش ترکیبی نیرو-جابه‌جایی به منظور تحلیل قاب‌های صفحه‌ای دو بعدی ارائه شده است. این روش با در نظر گرفتن همزمان شرایط تعادل و سازگاری دستگاه معادلات حاکم بر قاب‌های صفحه‌ای را تشکیل می‌دهد. ابتدا معادلات دیفرانسیل حاکم بر اعضا تک‌محوری در مختصات محلی تولید و با انتگرال‌گیری، ثوابت انتگرالی به عنوان متغیرهای مجهول مسئله در نظر گرفته می‌شود. الگوریتم روش پیشنهادی به سادگی قابل پیاده‌سازی در قالب کد رایانه‌ای است و می‌تواند به عنوان جایگزینی برای روش‌های مرسوم تحلیل قاب‌ها بهره‌گیری شود. از مزیت‌های روش ترکیبی می‌توان به یافتن پاسخ دقیق در هر نقطه از سازه بدون نیاز به شبکه‌بندی، الگوریتم ساده و قابل تعمیم، سادگی حل برای قاب‌های نامعین و عدم نیاز به پس پردازش اشاره نمود. به منظور روشن سازی کارایی روش سه قاب صفحه‌ای با افزایش تدریجی اعضا و دهانه‌ها تحلیل شد. راستی آزمایی روش با مقایسه پاسخ‌ها با روش اجزا محدود صورت پذیرفت. نتایج تطابق پاسخ‌ها را نشان می‌دهد. نمودارهای برش، خمش و تغییر مکان قاب‌های انتخابی رسم گردیده است.

$$W_{x_i} = \frac{q_i}{EI} \times \frac{x_i^4}{24} + c_{i,3} \times \frac{x_i^3}{6} + c_{i,4} \times \frac{x_i^2}{2} + c_{i,5} \times x_i + c_{i,6}$$

$$M_{x_i} = -q_i \times \frac{x_i^2}{2} - (c_{i,3} \times x_i + c_{i,4}) \times EI$$

$$T_{x_i} = -q_i \times x_i - c_{i,3} \times EI$$

با حل معادله (۴۲) برای شکل ۶ مقدار ماتریس C بدست می‌آید که در پیوست ۳ (مقادیر به دست آمده ماتریس C برای مثال سوم) به آن اشاره شده است.



شکل ۶: قاب ساده دو دهنه و دو طبقه دارای ۱۰ المان تحت بار گسترده و متمرکز جانبی

با قرار دادن مقادیر ماتریس C در معادلات حاکم بر هر ۴-۳-۲ المان در زیربخش قبل معادلات خیز، لنگر و برش هر المان بدست

جدول ۷: مقایسه لنگر بدست آمده از روش ترکیب نیرو-جابه‌جایی با روش اجزا محدود

شماره المان	لنگر					
	روش ترکیب نیرو - جابه‌جایی			روش اجزا محدود		
	گره ابتدا	گره انتها	مقدار max	گره ابتدا	گره انتها	مقدار max
المان ۱	-۲۸۳۰۲.۵۸۵۰۷	۱۸۷۶۱.۵۲۳۳۱	۱۸۷۶۱.۵۲۳۳۱	-۲۸۳۰۳	۱۸۷۶۲	۱۸۷۶۲
المان ۲	-۲۴۶۱۱.۹۹۱۶۳	۲۰۹۷۳.۷۹۳۷۶	۲۰۹۷۳.۷۹۳۷۶	-۲۴۶۱۲	۲۰۹۷۴	۲۰۹۷۴
المان ۳	-۳۱۸۰۴.۲۱۷۱۱	۲۵۹۰۱.۳۵۳۲۲	۲۵۹۰۱.۳۵۳۲۲	-۳۱۸۰۴	۲۵۹۰۱	۲۵۹۰۱
المان ۴	-۲۱۷۵۴.۲۶۸۲۸	۲۵۸۶۶.۲۱۵۱۳	۲۵۸۶۶.۲۱۵۱۳	-۲۱۷۵۴	۲۵۸۶۶	۲۵۸۶۶
المان ۵	-۲۷۶۲۲.۵۶۶۰۲	۱۷۶۰۷.۷۵۵۲۷	۱۷۶۰۷.۷۵۵۲۷	-۲۷۶۲۳	۱۷۶۰۸	۱۷۶۰۸
المان ۶	-۵۸۵۰.۴۶۸۳۱۹	۸۸۹۰.۴۶۳۵۵	۸۸۹۰.۴۶۳۵۵	-۵۸۵۰	۸۸۹۰	۸۸۹۰

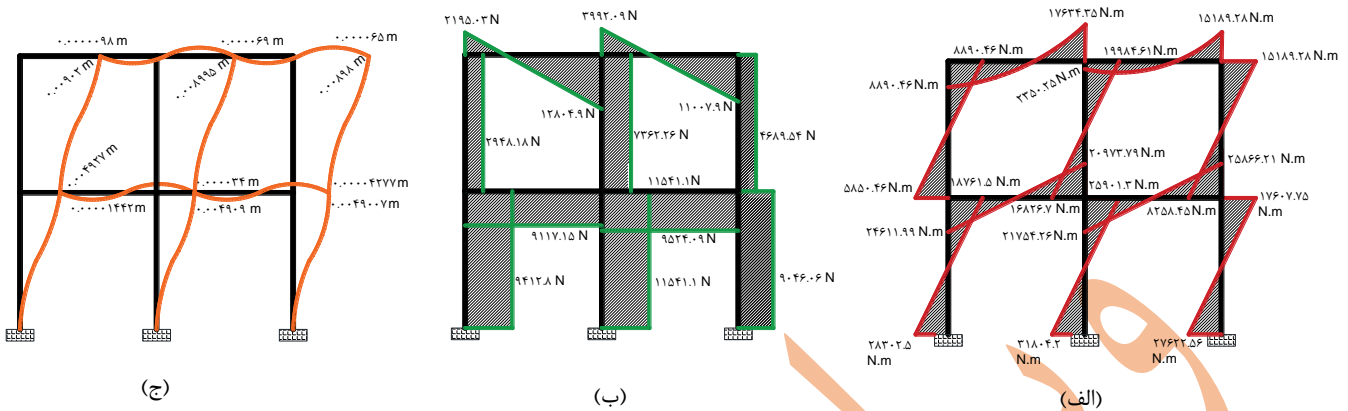
المان ۷	-۸۸۹۰.۴۶۳۵۵	۱۷۶۳۴.۳۵۵۵۹	۱۷۶۳۴.۳۵۵۵۹	-۸۸۹۰	۱۷۶۳۴	۱۷۶۳۴
المان ۸	-۱۶۸۲۶.۷۰۸۸۳	۱۹۹۸۴.۶۱۴۱۵	۱۹۹۸۴.۶۱۴۱۵	-۱۶۸۲۷	۱۹۹۸۵	۱۹۹۸۵
المان ۹	-۲۳۵۰.۲۵۸۵۵۶	۱۵۱۸۹.۲۸۵۲۹	۱۵۱۸۹.۲۸۵۲۹	-۲۳۵۰	۱۵۱۸۹	۱۵۱۸۹
المان ۱۰	-۸۲۵۸.۴۵۹۸۵۸	۱۵۱۸۹.۲۸۵۲۹	۱۵۱۸۹.۲۸۵۲۹	-۸۲۵۸	۱۵۱۸۹	۱۵۱۸۹

جدول ۸: مقایسه برش بدست آمده از روش ترکیب نیرو-جابه‌جایی با روش اجزا محدود

شماره المان	برش			
	روش ترکیب نیرو - جابه‌جایی		روش اجزا محدود	
	گره ابتدا	گره انتها	گره ابتدا	گره انتها
المان ۱	۹۴۱۲.۸۲۱۶۷۷	۹۴۱۲.۸۲۱۶۷۷	۹۴۱۳	۹۴۱۳
المان ۲	-۹۱۱۷.۱۵۷۰۷۹	-۹۱۱۷.۱۵۷۰۷۹	-۹۱۱۷	-۹۱۱۷
المان ۳	۱۱۵۴۱.۱۱۴۰۶	۱۱۵۴۱.۱۱۴۰۶	۱۱۵۴۱	۱۱۵۴۱
المان ۴	-۹۵۲۴.۰۹۶۶۸۴	-۹۵۲۴.۰۹۶۶۸۴	-۹۵۲۴	-۹۵۲۴
المان ۵	۹۰۴۶.۰۶۴۲۵۸	۹۰۴۶.۰۶۴۲۵۸	۹۰۴۶	۹۰۴۶
المان ۶	۲۹۴۸.۱۸۶۳۷۴	۲۹۴۸.۱۸۶۳۷۴	۲۹۴۸	۲۹۴۸
المان ۷	۲۱۹۵.۰۳۶۱۷۱	-۱۲۸۰۴.۹۶۳۸۳	۲۱۹۵	-۱۲۸۰۵
المان ۸	۷۳۶۲.۲۶۴۵۹۶	۷۳۶۲.۲۶۴۵۹۶	۷۳۶۲	۷۳۶۲
المان ۹	۳۹۹۲.۰۹۱۲۳۱	-۱۱۰۰۷.۹۰۸۷۷	۳۹۹۲	-۱۱۰۰۸
المان ۱۰	۴۶۸۹.۵۴۹۰۳	۴۶۸۹.۵۴۹۰۳	۴۶۹۰	۴۶۹۰

جدول ۹: مقایسه خیز بدست آمده از روش ترکیب نیرو-جابه‌جایی با روش اجزا محدود

شماره المان	خیز					
	روش ترکیب نیرو - جابه‌جایی			روش اجزا محدود		
	گره ابتدا	گره انتها	مقدار max	گره ابتدا	گره انتها	مقدار max
المان ۱	۰	۰.۰۰۴۹۲۷۵۵۸	۰.۰۰۴۹۲۷۵۵۸	۰	۰.۰۰۴۹۲۸	۰.۰۰۴۹۲۸
المان ۲	۱.۴۴۲۱۱×۱۰^{-۵}	-۳.۴۱۴۶۱×۱۰^{-۵}	۰.۰۰۰۱۴۶۷۸۵	۰.۰۰۰۰۱۴	-۰.۰۰۰۰۳۴	۰.۰۰۰۰۱۴۷
المان ۳	۰	۰.۰۰۴۹۰۹۷۷۶	۰.۰۰۴۹۰۹۷۷۶	۰	۰.۰۰۴۹۱	۰.۰۰۴۹۱
المان ۴	-۳.۴۱۴۶۱×۱۰^{-۵}	-۴.۲۷۷۵×۱۰^{-۵}	۰.۰۰۰۳۸۵۰۷۷	-۰.۰۰۰۰۳۴	-۰.۰۰۰۰۴۳	۰.۰۰۰۳۸۵
المان ۵	۰	۰.۰۰۴۹۰۰۷	۰.۰۰۴۹۰۰۷	۰	۰.۰۰۴۹۰۱	۰.۰۰۴۹۰۱
المان ۶	۰.۰۰۴۹۲۷۵۵۸	۰.۰۰۹۰۲۰۴۸۲	۰.۰۰۹۰۲۰۴۸۲	۰.۰۰۴۹۲۸	۰.۰۰۹۰۲	۰.۰۰۹۰۲
المان ۷	۹.۸۴۸۰۹×۱۰^{-۶}	-۶.۹۱۳۹۹×۱۰^{-۵}	۹.۸۴۸۰۹×۱۰^{-۶}	۰.۰۰۰۰۱	-۰.۰۰۰۰۶۹	۰.۰۰۰۰۱
المان ۸	۰.۰۰۴۹۰۹۷۷۶	۰.۰۰۸۹۹۵۳۷۵	۰.۰۰۸۹۹۵۳۷۵	۰.۰۰۴۹۱	۰.۰۰۸۹۹۵	۰.۰۰۸۹۹۵
المان ۹	-۶.۹۱۳۹۹×۱۰^{-۵}	-۶.۵۷۰۸۲×۱۰^{-۵}	۴.۰۰×۱۰^{-۶}	-۰.۰۰۰۰۶۹	-۰.۰۰۰۰۶۶	۰.۰۰۰۰۰۴
المان ۱۰	۰.۰۰۴۹۰۰۷	۰.۰۰۸۹۸۵۶۰۵	۰.۰۰۸۹۸۵۶۰۵	۰.۰۰۴۹۰۱	۰.۰۰۸۹۸۶	۰.۰۰۸۹۸۶



شکل ۷: (الف): نمودار لنگر قاب ساده دارای ۱۰ المان (ب): نمودار برش قاب ساده دارای ۱۰ المان (ج): نمودار خیز قاب ساده دارای ۱۰ المان

منابع

۲۰۲۱. ۳۵-
 ۴۱. <https://doi.org/10.1145/3475827.3475833>.
۱۰. Li, Z. Development of Program for Solving Plane Rigid Frame Based on MATLAB. ۲۰۲۱ IEEE ۱۲th International Conference on Mechanical and Intelligent Manufacturing Technologies (ICMIMT), ۲۰۲۱. IEEE, ۶۴-۶۷.
<https://doi.org/10.1109/ICMIMT52186.2021.9476148>.
 ۱۱. Khennane, A. ۲۰۱۳. *Introduction to finite element analysis using MATLAB® and abaqus*, CRC Press.
 ۱۲. McNeice, G. and S. Hunnisett ۱۹۷۲. Mixed-displacement finite-element analysis with particular application using plane-stress triangles. *Journal of Strain Analysis*, ۷, ۲۴۳-۲۵۲. <https://doi.org/10.1243/030932247.74243>.
 ۱۳. Liu, H. Internal Force Solution of Plane Rigid Frame Based on Matrix Displacement Method. International Conference on Architecture, Materials and Construction, ۲۰۲۱. Springer, ۵۸-۶۴. https://doi.org/10.1007/978-3-03-94514-5_7.
 ۱۴. Qi, H. Calculation of Frame Internal Force Based on MATLAB Matrix Displacement Method. ۲۰۲۰ International Conference on Computing and Data Science (CDS), ۲۰۲۰. IEEE, ۳۶۷-۳۷۲. <https://doi.org/10.1109/CDS49703.2020.00077>.
 ۱۵. Falson, G. and D. Settineri ۲۰۱۳. A Mixed Force-Displacement Method for the Exact Solution of Plane Frames. *American Journal of Civil Engineering and Architecture*, ۱, ۸۲. <https://doi.org/10.12691/ajcea-1-4-3>.
 ۱۶. Shahabian, F. and J. Alamatian ۲۰۱۲. Stochastic Nonlinear Dynamic Analysis of Portal Frames in Random Fields. *Journal of Civil and Surveying Engineering*, ۴۵, ۶۵۹-۶۷۰. [In Persian]. https://jcse.ut.ac.ir/article_24921_en.html.
 ۱۷. Mohemmi, M., V. Broujerdian, and P. Rajaiean ۲۰۲۰. An equivalent method for bar slip simulation in reinforced concrete frames. *International Journal of Civil*
 ۱. Macaulay, W. ۱۹۱۹. Note on the deflection of beams. *The Messenger of Mathematics*, ۴۸, ۱۲۹-۱۳۰.
 ۲. Brungaber, R. ۱۹۶۵. Singularity functions in the solution of beam-deflection problems. *Journal of Engineering Education (Mechanics Division Bulletin)*, ۱, ۲۷۸-۲۸۰.
 ۳. Falson, G. ۲۰۰۲. The use of generalised functions in the discontinuous beam bending differential equations. *International Journal of Engineering Education*, ۱۸, ۳۳۷-۳۴۳.
 ۴. Rahami, H., et al. ۲۰۱۵. Finite element analysis using mixed force-displacement method via singular value decomposition. *Iranian Journal of Science and Technology. Transactions of Civil Engineering*, ۳۹, <https://doi.org/10.22099/ijstc.2015.2736>.
 ۵. Xu, G., Chen, Q., Zhu, S., Wang, Z., & Wu, B. ۲۰۱۸. Force-Displacement Mixed Control Method for ۳-DOFs Loading System. *Journal of Shenyang Jianzhu University (Natural Science)*, ۳۴, ۵۸۶-۵۹۵.
<https://doi.org/10.11717/j.issn:2095-1922.2018.04.02>.
 ۶. Pan, P., et al. ۲۰۱۴. Force-displacement mixed control for collapse tests of multistory buildings using quasi-static loading systems. *Earthquake engineering & structural dynamics*, ۴۳, ۲۸۷-۳۰۰.
<https://doi.org/10.1002/eqe.2344>.
 ۷. Pan, P., M. Nakashima, and H. Tomofuji ۲۰۰۵. Online test using displacement-force mixed control. *Earthquake Engineering & Structural Dynamics*, ۳۴, ۸۶۹-۸۸۸.
 ۸. Zhou, H., et al. ۲۰۲۱. Multi-degree-of-freedom force-displacement mixed control strategy for structural testing. *Earthquake Engineering & Structural Dynamics*, ۵۰, ۳۵۴-۳۷۴. <https://doi.org/10.1002/eqe.3334>.
 ۹. Jiang, Z. Programming for matrix displacement method based on MATLAB. Proceedings of the ۲۰۲۱ ۴th International Conference on Mathematics and Statistics,

- Mechanics*, ۱۷۵, ۸۳
<https://doi.org/10.1680/jencm.21.0013>.
۲۹. Alaneme, G.U., et al. ۲۰۲۳. Numerical Analysis and Parametric Study on Multiple Degrees-of-Freedom Frames. *Civil Engineering Journal*, ۹, ۱۷۰۹-۱۷۳۶, ۱۰, ۲۸۹۹۱/CEJ-۲۰۲۳-۰۹-۰۷-۰۱۲.
۳۰. Colombo, I.G., et al. ۲۰۲۳. Solution of Complex Frames. *Structural Analysis of Plane Frames: Solved Examples with Force and Displacement Methods*. Springer.
۳۱. Connor, J.J., et al. ۲۰۱۶. Finite Element Displacement Method for Framed Structures. *Fundamentals of Structural Engineering*, ۸۰۵-۸۶۹. https://doi.org/10.1007/978-3-319-24331-3_12.
۳۲. Karnovsky, I.A., et al. ۲۰۲۱. The Displacement Method. *Advanced Methods of Structural Analysis*, ۳۶۷-۴۰۳. https://doi.org/10.1007/978-3-30-44394-8_10.
۳۳. Toniolo, G. and G. Toniolo ۲۰۱۹. Displacement Method. *Introduction to Frame Analysis: First and Second Order Theories*, ۱۵۷-۲۷۵. https://doi.org/10.1007/978-3-03-146664-1_3.
۳۴. Kien, N.D. ۲۰۰۴. Beam element for large displacement analysis of elasto-plastic frames. *Vietnam Journal of Mechanics*, ۲۶, ۳۹-۵۴. <https://doi.org/10.156۲۵/۰۸۶۶-۷۱۳۶/۲۶/۱/۵۶۸۸>.
۳۵. Krenk, S., et al. ۲۰۱۳. Deformation and Element Methods for Frames. *Statics and Mechanics of Structures*, ۲۶۷-۳۲۰. https://doi.org/10.1007/978-94-007-6۱۱۳-۱_7.
۳۶. Rezaiee-Pajand, M. and N. Gharaei-Moghaddam ۲۰۱۷. Frame nonlinear analysis by force method. *International Journal of Steel Structures*, ۱۷, ۶۰۹-۶۲۹. <https://doi.org/10.1007/s13296-017-019-3>.
۳۷. Raju, N.K. and J. Nagabhushanam ۲۰۰۰. Nonlinear structural analysis using integrated force method. *Sadhana*, ۲۵, ۳۵۳-۳۶۵. <https://doi.org/10.1007/BF۰۳۰۲۹۷۲۰>.
۳۸. Wang, Y. and G. Senatore ۲۰۲۰. Extended integrated force method for the analysis of prestress-stable statically and kinematically indeterminate structures. *International Journal of Solids and Structures*, ۲۰۲, ۷۹۸-۸۱۵. <https://doi.org/10.1016/j.ijsolstr.2020.05.029>.
۳۹. Zhang, S.Y. and M.H. Dong ۲۰۱۴. A Transfer Matrix Method for Frame Shear Wall Structures. *Applied Mechanics and Materials*, ۴۸۲, ۲۰۷-۲۱۲. <https://doi.org/10.4۰۲۸/www.scientific.net/AMM.482,207>.
۴۰. Tzimas, A.S., et al. ۲۰۱۳. A hybrid force/displacement seismic design method for steel building frames. *Engineering Structures*, ۵۶, ۱۴۵۲-۱۴۶۳. <https://doi.org/10.1016/j.engstruct.2013.07.014>.
۴۱. Mazzoni, S., et al. ۲۰۰۶. OpenSees command language manual. *Pacific earthquake engineering research (PEER) center*, ۲۶۴, ۱۳۷-۱۵۸.
- Engineering*, ۱۸, ۸۵۱-۸۶۳.
<https://doi.org/10.1007/s۴۰۹۹۹-۰۲۰۰۰۵۰۷-۶>.
۱۸. Sae-Long, W., et al. ۲۰۲۰. Forced-based shear-flexure-interaction frame element for nonlinear analysis of non-ductile reinforced concrete columns. *Journal of Applied and Computational Mechanics*. ۱۰, ۲۲۰۵۵/JACM.۲۰۲۰, ۳۲۷۳۱, ۲۰۶۵
۱۹. Sabet Rasekh, M. and F. Behnamfar ۲۰۲۰. Displacement-based design of torsional buildings considering two-way nonlinearities. *Sharif Journal of Civil Engineering*, ۳۶, ۶۹-۷۷. [In Persian]. ۱۰, ۲۴۲۰۰/j۳۰, ۲۰۱۸, ۵۷۱۳, ۲۲۶۹.
۲۰. M Kani, I. and N. Moghaddasi Bonab ۲۰۰۹. Computer program for analysis of substitute frame of flat slabs and supported on beams. *Sharif Journal of Civil Engineering*, ۲۴, ۹۵-۱۰۲. [In Persian]. https://sjce.oujournals.sharif.edu/article_۴۷.html.
۲۱. Thai, H.-T., et al. ۲۰۲۰. Review of nonlinear analysis and modeling of steel and composite structures. *International Journal of Structural Stability and Dynamics*, ۲۰, ۲۰۳۰۰۰۳. <https://doi.org/10.1142/S۰۲۱۹۴۵۵۴۲۰۳۰۰۰۳۷>.
۲۲. Namadchi, A., J. Alamatian, and H. Mohammadelahi Arehkamar ۲۰۲۲. Semi-explicit Unconditionally Stable Time Integration method based on Generalized- α technique. *Sharif Journal of Civil Engineering*, ۳۷, ۱۳۵-۱۴۵. [In Persian] <https://doi.org/10.242۰۰/j۳۰, ۲۰۲۱, ۵۵۹۵۸, ۲۷۹۲>.
۲۳. Limkatanyu, S. and E. Spacone ۲۰۰۲. Reinforced concrete frame element with bond interfaces. I: Displacement-based, force-based, and mixed formulations. *Journal of Structural Engineering*, ۱۲۸, ۳۴۶-۳۵۵. [https://doi.org/10.1061/\(ASCE\)۰۷۳۳-94۴۵\(2۰۰۲\)۱۲۸:3\(346\)](https://doi.org/10.1061/(ASCE)۰۷۳۳-94۴۵(2۰۰۲)۱۲۸:3(346)).
۲۴. Sepulveda, C. and G. Mosqueda. Performance assessment of a mixed displacement and force control mode for hybrid simulation. ۱۳th Chilean Conference of Seismology and Earthquake Engineering, ۲۰۲۳.
۲۵. Sepulveda, C., et al. ۲۰۲۴. Hybrid simulation framework with mixed displacement and force control for fully compatible displacements. *Earthquake Engineering & Structural Dynamics*, ۵۳, ۸۳۸-۸۵۵. <https://doi.org/10.1002/eqe.۴۰۴۸>.
۲۶. Pian, C., et al. ۲۰۲۰. A hybrid force/displacement seismic design method for reinforced concrete moment resisting frames. *Soil Dynamics and Earthquake Engineering*, ۱۲۹.
۲۷. Mohammad Rezaiee-Pajand, A.A.S. ۲۰۱۰. Extending Kani Method for Analysis of Braced Frames. *Journal of Structure & Steel*, ۶, ۸۳-۹۸. [In Persian].
۲۸. Khabiri, A. and A.S. Javadi ۲۰۲۲. Vibration analysis of buried pipelines and piles using differential transformation method. *Proceedings of the Institution of Civil Engineers-Engineering and Computational*

۴۲. McKenna, F. ۲۰۱۱. OpenSees: a framework for earthquake engineering simulation. *Computing in Science & Engineering*, ۱۳, ۵۸-۶۶.

میراستای نشده

$$\begin{aligned}
c_2^3 &= 17.659145103465697 \times 10^{-5} \\
c_2^4 &= -76.44253526120848 \times 10^{-5} \\
c_2^5 &= 83.91272086279045 \times 10^{-5} \\
c_2^6 &= -1.1772763402310474 \times 10^{-5} \\
c_3^1 &= -0.6773970062878016 \times 10^{-5} \\
c_3^2 &= 0 \\
c_3^3 &= -42.730598594612775 \times 10^{-5} \\
c_3^4 &= 118.93572679664533 \times 10^{-5} \\
c_3^5 &= 0 \\
c_3^6 &= 0
\end{aligned}$$

پیوست ۱ (مقادیر به دست آمده ماتریس c برای مثال اول)

$$\begin{aligned}
c_1^1 &= 0.2354552680462094 \times 10^{-5} \\
c_1^2 &= 0 \\
c_1^3 &= -37.290031773506646 \times 10^{-5} \\
c_1^4 &= 110.00762360632475 \times 10^{-5} \\
c_1^5 &= 0 \\
c_1^6 &= 0 \\
c_2^1 &= -0.1277995763532447 \times 10^{-5} \\
c_2^2 &= 598.219633131004 \times 10^{-5}
\end{aligned}$$

پیوست ۲ (مقادیر به دست آمده ماتریس c برای مثال دوم)

$$\begin{aligned}
c_1^1 &= -1.376922557393458 \times 10^{-6} \\
c_1^3 &= -112.71398501108096 \times 10^{-6} \\
c_1^5 &= 0 \\
c_2^1 &= 4.747146866518923 \times 10^{-6} \\
c_2^3 &= -103.26919180450917 \times 10^{-6} \\
c_2^5 &= 434.73764829806544 \times 10^{-6} \\
c_3^1 &= -7.013939499782052 \times 10^{-6} \\
c_3^3 &= -185.29784937038561 \times 10^{-6} \\
c_3^5 &= 0 \\
c_4^1 &= -2.276508874913778 \times 10^{-6} \\
c_4^3 &= -160.564654288163 \times 10^{-6} \\
c_4^5 &= 122.81058640125665 \times 10^{-6} \\
c_5^1 &= -4.109137942824491 \times 10^{-6} \\
c_5^3 &= -170.73816561853335 \times 10^{-6} \\
c_5^5 &= 0 \\
c_1^2 &= 0 \\
c_1^4 &= 368.73249218731557 \times 10^{-6} \\
c_1^6 &= 0 \\
c_2^2 &= 2260.948131277258 \times 10^{-6} \\
c_2^4 &= -194.83743286808874 \times 10^{-6} \\
c_2^6 &= 6.884612786967266 \times 10^{-6} \\
c_3^2 &= 0 \\
c_3^4 &= 487.8067407062156 \times 10^{-6} \\
c_3^6 &= 0 \\
c_4^2 &= 2237.212396944662 \times 10^{-6} \\
c_4^4 &= 22.009101963653204 \times 10^{-6} \\
c_4^6 &= 35.06969749891038 \times 10^{-6} \\
c_5^2 &= 0 \\
c_5^4 &= 462.6299975698297 \times 10^{-6} \\
c_5^6 &= 0
\end{aligned}$$

پیوست ۳ (مقادیر به دست آمده ماتریس c برای مثال سوم)

$$\begin{aligned}
 c_1^1 &= 0.2884217044890889 \times 10^{-5} & c_1^2 &= 0 \\
 c_1^3 &= -29.41506774151249 \times 10^{-5} & c_1^4 &= 88.4455783553693 \times 10^{-5} \\
 c_1^5 &= 0 & c_1^6 &= 0 \\
 c_2^1 &= -0.3556401956926527 \times 10^{-5} & c_2^2 &= 492.7558181606057 \times 10^{-5} \\
 c_2^3 &= 28.49111587189769 \times 10^{-5} & c_2^4 &= -76.91247385029613 \times 10^{-5} \\
 c_2^5 &= 74.53954500794028 \times 10^{-5} & c_2^6 &= -1.4421085224454455 \times 10^{-5} \\
 c_3^1 &= -0.6829214772844596 \times 10^{-5} & c_3^2 &= 0 \\
 c_3^3 &= -36.065981452242313 \times 10^{-5} & c_3^4 &= 99.38817846164188 \times 10^{-5} \\
 c_3^5 &= 0 & c_3^6 &= 0 \\
 c_4^1 &= -0.1815214678391231 \times 10^{-5} & c_4^2 &= 490.9776171821422 \times 10^{-5} \\
 c_4^3 &= 29.762802135959387 \times 10^{-5} & c_4^4 &= -67.98208838870316 \times 10^{-5} \\
 c_4^5 &= 46.11612415518059 \times 10^{-5} & c_4^6 &= 3.414607386422305 \times 10^{-5} \\
 c_5^1 &= -0.8555002272046297 \times 10^{-5} & c_5^2 &= 0 \\
 c_5^3 &= -28.26895080624522 \times 10^{-5} & c_5^4 &= 86.32051879784443 \times 10^{-5} \\
 c_5^5 &= 0 & c_5^6 &= 0 \\
 c_6^1 &= -0.091459840469547 \times 10^{-5} & c_6^2 &= 1.4421085224454451 \times 10^{-5} \\
 c_6^3 &= -9.213082418461455 \times 10^{-5} & c_6^4 &= 18.282713498103068 \times 10^{-5} \\
 c_6^5 &= 74.5395450079402 \times 10^{-5} & c_6^6 &= 492.7558181606057 \times 10^{-5} \\
 c_7^1 &= -0.5021589010871805 \times 10^{-5} & c_7^2 &= 902.0482448753133 \times 10^{-5} \\
 c_7^3 &= -6.859488035215988 \times 10^{-5} & c_7^4 &= -27.78269859420432 \times 10^{-5} \\
 c_7^5 &= 50.78958226768675 \times 10^{-5} & c_7^6 &= -0.984809320097716 \times 10^{-5} \\
 c_8^1 &= -0.6998772941386157 \times 10^{-5} & c_8^2 &= -3.414607386422298 \times 10^{-5} \\
 c_8^3 &= -23.00707686322756 \times 10^{-5} & c_8^4 &= 52.58346509832587 \times 10^{-5} \\
 c_8^5 &= 46.11612415518052 \times 10^{-5} & c_8^6 &= 490.97761718214245 \times 10^{-5} \\
 c_9^1 &= -0.1953978762441461 \times 10^{-5} & c_9^2 &= 899.5374503698778 \times 10^{-5} \\
 c_9^3 &= -12.475285095612197 \times 10^{-5} & c_9^4 &= -7.344557988096302 \times 10^{-5} \\
 c_9^5 &= 21.444988856465075 \times 10^{-5} & c_9^6 &= 6.913993857115411 \times 10^{-5} \\
 c_{10}^1 &= -0.4586628653918375 \times 10^{-5} & c_{10}^2 &= -4.277501136023145 \times 10^{-5} \\
 c_{10}^3 &= -14.65484071831097 \times 10^{-5} & c_{10}^4 &= 25.80768705771217 \times 10^{-5} \\
 c_{10}^5 &= 78.2407089111572 \times 10^{-5} & c_{10}^6 &= 490.070009842947 \times 10^{-5}
 \end{aligned}$$